

2, 3 の回路例にみる周期解の分歧

徳島大工電子 川上 博
松村利夫

1. はじめに

電気回路における発振現象を定性的に示す数学モデルとして van der Pol 方程式がある。この報告は van der Pol 方程式が持つリミット・サイクルの振幅の大きさを自動的に制御する問題に関するものである。3階自律方程式：

$$\begin{aligned}\ddot{z} - \mu(1 + \gamma z - z^2)\dot{z} + z &= 0 \\ \dot{z} &= -az + bx\end{aligned}\tag{*}$$

$\mu > 0$, $\gamma \geq 0$, $a > 0$ の解に関する計算機実験の結果を示したものである。上式は (z, \dot{z}, \ddot{z}) 空間の適当な領域で局所断面を考えることができ、その Poincaré 写像はパラメタの値により

- (i) 不動点、周期点が複数個現われること
 - (ii) homoclinic 点を持つこと
 - (iii) closed invariant curve を持つこと
- などの性質を有する点で興味がある。

2. 回路モデル

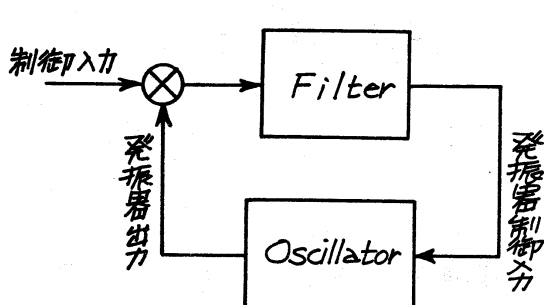


図2.1. 発振器の制御回路

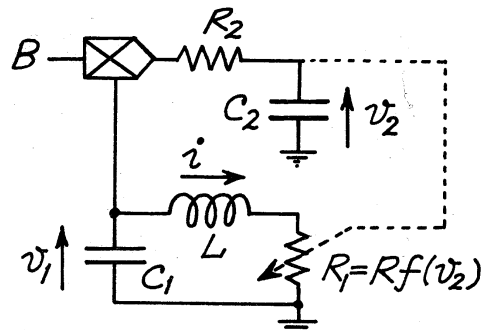


図2.2. 振幅制御回路

図2.1のsuchな発振器を外部制御入力によって制御する回路を考える。制御対象としては発振器のリミットサイクルの大きさ(AGC Automatic Gain Control), 周波数(AFC, Automatic Frequency Control)や位相(APC, Automatic Phase Control)などとか考えられる。図中Filter部は何らかの意味で発振器の制御を円滑にするために入れられた付加回路である。系の設計がうまくなされている場合には発振器は目的とするリミット・サイクルを1つ持つ。このリミット・サイクルが制御されるが、そうでない場合にはリミット・サイクルが複数現われたり病的な回路となる。設計の限界や新らしい動作を見いだす目的からすれば(数学的にも)後者のような病的な場合に興味が持たれる。

図2.2に示した振幅制御回路のモデルを考える。この回路は実際のAGC回路ではなくいくつかの機能をまとめたり、簡単化したモデルである。このことは素子特性の仮定の中にもりこんである。

図中 インダクタ (L)、キャパシタ (C_1, C_2) および抵抗 R_2 は線形とする。
 抵抗 R_1 は非線形結合抵抗でこの回路ではキャパシタ C_2 の電圧 v_2 でその抵抗値が制御される: $R_1 = Rf(v_2)$; $f: \mathbb{R} \rightarrow \mathbb{R}$. \otimes は乗算器で 2つの入力電圧の積の電圧を出力とする。回路方程式は

$$\begin{aligned} L \frac{di}{dt} + R_1 i &= v_1 \\ C_1 \frac{dv_1}{dt} + i &= 0 \\ C_2 R_2 \frac{dv_2}{dt} + v_2 &= B v_1 \\ R_1 &= Rf(v_2) \end{aligned} \tag{2.1}$$

となる。

$$\tau = \frac{1}{\sqrt{LC_1}} t, \quad v_1 = v, \quad v_2 = u, \quad \mu = R \sqrt{\frac{C_1}{L}}, \quad T = \frac{C_2 R_2}{\sqrt{LC_1}}$$

とおくと

$$\begin{aligned} \frac{d^2v}{dT^2} + \mu f(u) \frac{dv}{dT} + v &= 0 \\ T \frac{du}{dT} &= -u + Bv \end{aligned} \tag{2.2}$$

を得る。式 (2.2) で $C_2 = 0$ すなわち $T = 0$ の回路では

$$\frac{d^2v}{dT^2} + \mu f(Bv) \frac{dv}{dT} + v = 0 \tag{2.3}$$

で表わされる Liénard 型回路方程式を得ることに注意する。

制御入力 B と非線形特性 f について次の 2つの場合を考える:

- (i) B : 定数, $f(u) = -1 - \gamma u + u^2$ γ : 定数
- (ii) $B = v$, $f(u) = -1 + u$

いすれの場合も (2.3) が van der Pol 型の方程式になる。式 (2.2)

でオ1式の振幅を決定する μ の係数がオ2式の係数 α で制御される形となっているため このモデルは AGC 回路の一つのモデルと考えられる。特性(ii)の仮定のもとに適当なパラメタ範囲で 2つの安定なリミット・サイクルが存在することが P.R. Scott [1] によって報告されている。以下では(i)の特性に対する方程式

$$\begin{aligned}\ddot{x} - \mu(1 + \gamma z - z^2)\dot{x} + x &= 0 \\ \dot{z} &= -az + bx\end{aligned}\tag{2.4}$$

ただし $\mu = x$, $u = z$, $a = \frac{1}{T}$, $b = \frac{B}{T}$; について考察する。

3. (2.4)式について

(2.4)を次の一階連立方程式で考えよう。

$$\begin{aligned}\dot{x} &= y \\ \dot{y} &= -x + \mu(1 + \gamma z - z^2)y \\ \dot{z} &= -az + bx\end{aligned}\tag{3.1}$$

以下直観的であるが (3.1) の解の様子を概観しておく。まずパラメタについては式の対称性から次のように仮定しても一般性は失われないのでそのような場合について考えることにする:

$$\mu \geq 0, \gamma \geq 0, a \geq 0, b > 0$$

(3.1) 特異点とその不変集合

(i) (3.1) の特異点は明らかに原点のみであり、その微分方程式

$$\dot{\xi} = \gamma$$

$$\dot{\eta} = -\xi + \mu\gamma \quad (3.2)$$

$$\dot{\zeta} = +b\xi - a\eta$$

となり、 $0 < \mu < 2$, $a > 0$ のとき 原点は saddle focus

($\lambda_1 < 0$, $\lambda_2 = \bar{\lambda}_3$, $\operatorname{Re} \lambda_2 > 0$) である。

(ii) ζ 軸は 原点の直線を 安定不変軌道である。 $\zeta(t) \cong \varphi(t) = A e^{-at}$

A :一定, に沿った (3.1) の 複数方程式は

$$\dot{\xi} = \gamma$$

$$\dot{\eta} = -\xi + \mu[1 + \gamma\varphi(t) - \varphi(t)^2] \quad (3.3)$$

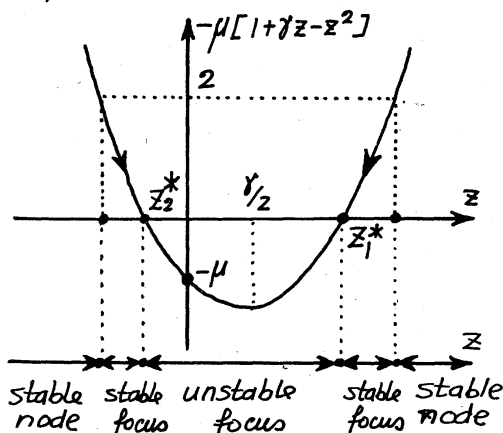
$$\dot{\zeta} = b\xi - a\eta$$

あるいは

$$\ddot{\xi} - \mu[1 + \gamma\varphi(t) - \varphi(t)^2]\dot{\xi} + \xi = 0 \quad (3.4)$$

$$\dot{\zeta} = b\xi - a\eta$$

となる。 ξ については係数時変形方程式であり $\zeta(t) = \varphi(t)$ の変化にともなって ζ 軸の近傍の様子が下図のように変わると考えてよいであろう。特に $a \ll 1$ として ψ から $\zeta(t)$ が変化する場合



$-\mu[1 + \gamma z - z^2]$ が正から負に符号を変える区の値 z_1^* , z_2^* で Hopf 分岐に似たベクトル場の変化がみられ ζ 軸をとりまくリミットサイクルができることが予想される。このことは実際実験で確かめられた。

(3.2) 解の有界性

(3.1) は $\mu > 0, a > 0$ のとき R^3 の任意の点 P に初期値 $\phi(0, P) = P$ を持つ解が " $t \geq 0$ で存在し, $t \rightarrow \infty$ で 原点を含むある有界集合内に流れ込むものと考えられる。以下そのことを直観的に説明する。

(3.1) をレリンダ座標 $(x, y, z) = (r\cos\theta, r\sin\theta, z)$ を用いて書き直すと 次式となる:

$$\begin{aligned}\dot{r} &= \mu(1 + \gamma z - z^2)r \sin^2\theta \\ \dot{\theta} &= -1 + \frac{\mu}{2}(1 + \gamma z - z^2)\sin 2\theta \\ \dot{z} &= -az + rb \cos\theta\end{aligned}\quad (3.5)$$

(3.5) より $0 < \mu < 2, a > 0$ の仮定のもとに次のことが考えられる。

- (i) $1 + \gamma z - z^2 < 0$ の領域で $\dot{r} < 0$ より flow は r 軸に近づく,
- (ii) $1 + \gamma z - z^2 > 0$ の領域で flow は r 軸を中心へ巻き出す。また十分大きな $M > 0$ に対して $r > M$ の領域の解については巻きながら $1 + \gamma z - z^2 < 0$ の領域に流れ込む。これは $\dot{\theta} < 0$ (-様回転) との評価からわかる。

このことにより (3.1) は相空間の大きさを値で" 消散的 (dissipative in the Large displacements) 性質を持つと考えられる。

(3.3) 局所断面と Poincaré map.

上に述べたことより $\mu(1 + \gamma z - z^2) < 2$ の領域で解は r 軸に沿って一様に回転するので レリンダ座標で θ : 一定の面を局所断面 (cross section) に送る, この断面を自身に写す

Poincaré map を考えることがで"きる。以下に述べる実験は

$$\Pi: \{(x, y, z) \in \mathbb{R}^3 \mid y=0, x>0\}$$

を局所断面とした。Poincaré map $T: \Pi \rightarrow \Pi; x \mapsto \varphi(t, x) = x$, ただし t は flow の再び " Π を切る時刻, に関する不動点, 周期点, 不変曲線等については昨年度上田氏の報告[2]を参照。そこでは非自律系の場合の定義があるが Π についても同様である。

(3.4) 不動点の分歧

局所断面の次元が 2 なので, パラメタの変化による不動点の分歧の型としては特性乗数の 1 つ(または 1 对)が複素平面上の単位円を横切る様子で次のものか"考えられる。

(i) 不動点の発生: 実軸上特性乗数 $\lambda = 1.0$ で 2 つの不動点:

完全安定(S)と略記: $|\lambda_1|, |\lambda_2| < 1$, 正不安定(D: $0 < \lambda_1 < 1 < \lambda_2$)の 1 对が発生する。SD 発生と呼ぶことにす。

(ii) 不動点の分歧(SI 分歧): 実軸上 $\lambda = -1$ で完全安定不動点が逆不安定(I: $\lambda_1 < -1 < \lambda_2 < 0$)となりその周りに完全安定の周期点が発生する。SI 分歧と呼ぶことにす。

(iii) 不動点の分歧(SD 分歧): 実軸上 $\lambda = 1$ で完全安定不動点が正不安定不動点に変化し, その周りに 2 つの完全安定不動点が発生する。これは方程式にある種の対称性のある場合にみられ, たとえば $(3, 1)$ では $y=0$ の場合に生じる。

(iv) Hopf 分岐: 特性乗数が単位円内部から外部へ複素共

役の形で変化するとき完全安定不動点が完全不安定不動点 ($\lambda_1, \lambda_2 > 1$) となり、その周りに安定な Invariant closed curve が生じる。

これらの分歧の逆の過程も考えられるが、ここでは省略した。なお (3.1) は自律系なのでリミットサイクルの一つの特性乗数は 1 に等しい。ここでは便宜上リミットサイクルの呼び名を Poincaré map の不動点の呼び方で呼ぶことにする。

4 実験結果

$$\begin{aligned}\dot{x} &= y \\ \dot{y} &= -x + \mu(1 + \gamma z - z^2)y \\ \dot{z} &= -az + 0.4x\end{aligned}\tag{4.1}$$

についてパラメタ (μ, γ, a) のいくつかの値についてフローを計算した。

(i) 半平面 $\Pi = \{(x, y, z) \in \mathbb{R}^3 \mid y = 0, x > 0\}$ の Poincaré map Π により周期解の存在、分歧の様子をみた。結果をアの不動点、周期軌道、不変曲線などにより定性的に示す。これらはアナログ計算機によった。

(ii) 不動点 (周期点) の位置・周期解の周期・特性乗数などの計算は $x = \Pi x, x \in \Pi$ の方程式を連立させ近似値より Newton 法によりデジタル計算機で計算した。その際用いた数値積分は Runge-Kutta 法 (5次の公式) を用いた。表 1 参照。

データに示した記法は次のとおり：

S' ：完全安定不動点を示す。複数個あるときは $'S, ^2S$ のように区別して示す。また2周期点については $S_1^2, S_2^2 = T(S_1^2)$ と記す。

D, I, U ：それぞれ正不安定、逆不安定、完全不安定不動点を示す。

D 点に出入りする不変曲線、細線：不安定不変曲線、太線：安定不変曲線。矢印は γ による曲線上の点の移動方向を示す。

(4.1) 不動点の個数について

μ を固定して γ を変化させて不動点の個数を調べた。

図4.1に結果を示した。 $\mu=0.4$ に例をとて説明すると曲線より上の領域では S 点が1つ、曲線より下では S 点が2つ、 D 点が1個合計3個の不動点が存在する。曲線上で SD 対の発生(消滅)がみられる。

不動点が3個存在する例として

$$\begin{aligned} \ddot{x} - 0.1(1 + 0.8z - z^2)\dot{x} + x &= 0 \\ \dot{z} &= -0.04z + 0.4x \end{aligned} \tag{4.2}$$

について、 π 上の γ に対する phase portrait (不動点の位置、不変曲線の形などの定性的な図)、リミットサイクルを図4.2、図4.3(a), (b)に示した。

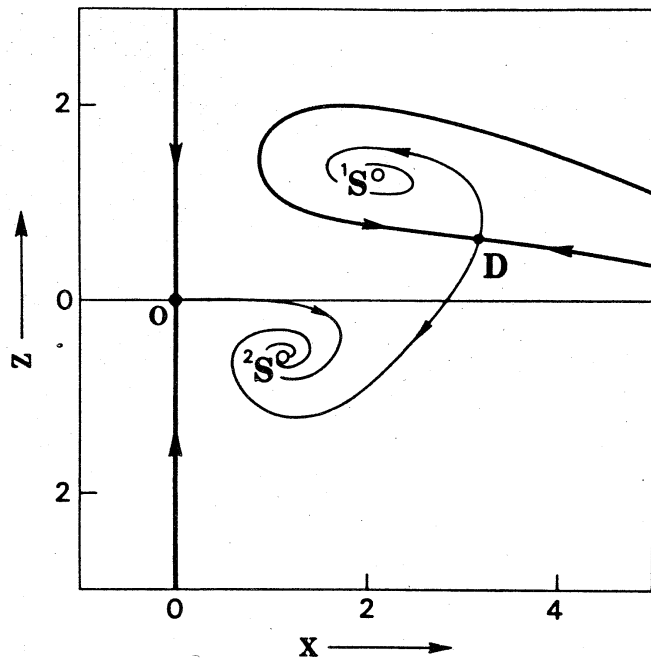
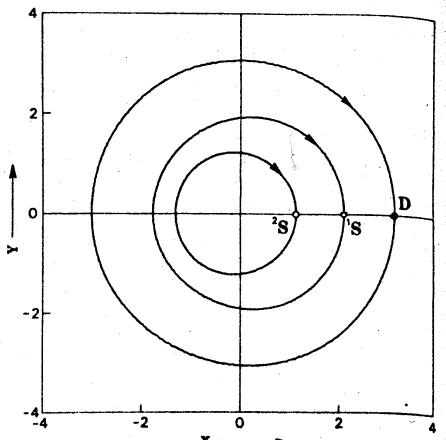
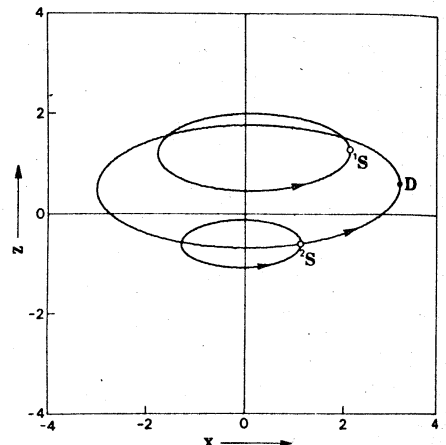


図4.2. (4.2)式のπ上のphase portrait.



(a)



(b)

図4.3. (4.2)式のlimit cycles.

$$'S \text{に対応する周期解を } \tau = \frac{2\pi t}{6.2984} \text{ とする}$$

Fourier 展開すると次式となる:

$$\begin{aligned} x_{1S}(\tau) = & 0.1247 - 0.0066 \sin \tau + 1.9193 \cos \tau \\ & - 0.0022 \sin 2\tau + 0.0417 \cos 2\tau \\ & + 0.0035 \sin 3\tau + 0.0012 \cos 3\tau \\ & + 0.0002 \sin 4\tau + 0.0000 \cos 4\tau + \dots \end{aligned}$$

$$\begin{aligned} y_{1S}(\tau) = & -1.9147 \sin \tau - 0.0066 \cos \tau \\ & - 0.0832 \sin 2\tau - 0.0044 \cos 2\tau \\ & - 0.0035 \sin 3\tau + 0.0103 \cos 3\tau \\ & - 0.0002 \sin 4\tau + 0.0007 \cos 4\tau + \dots \end{aligned}$$

$$\begin{aligned} z_{1S}(\tau) = & 1.2471 + 0.7682 \sin \tau + 0.0335 \cos \tau \\ & + 0.0083 \sin 2\tau + 0.0006 \cos 2\tau \\ & + 0.0002 \sin 3\tau - 0.0005 \cos 3\tau + \dots \end{aligned}$$

(4.2) 不動点の分歧について

(3.4)で述べた4種類の分歧は適当なパラメータの変化によりすべて観られた。

(i) SD対の発生・消滅：図4.1に示したように μ を固定して α, γ をかえると曲線上でみられる。

(ii) SI分歧： μ の値が 0.3 より大きい値になると観られる。

たとえば $\mu = 0.4$ と
して S 点が I 点に
変化し S_1^2, S_2^2 が生
じる領域を求めると

図4.4 のようになる。

不動点の記法は図
4.2 を用いて

内で 2S が I に、

内で 1S が I に、

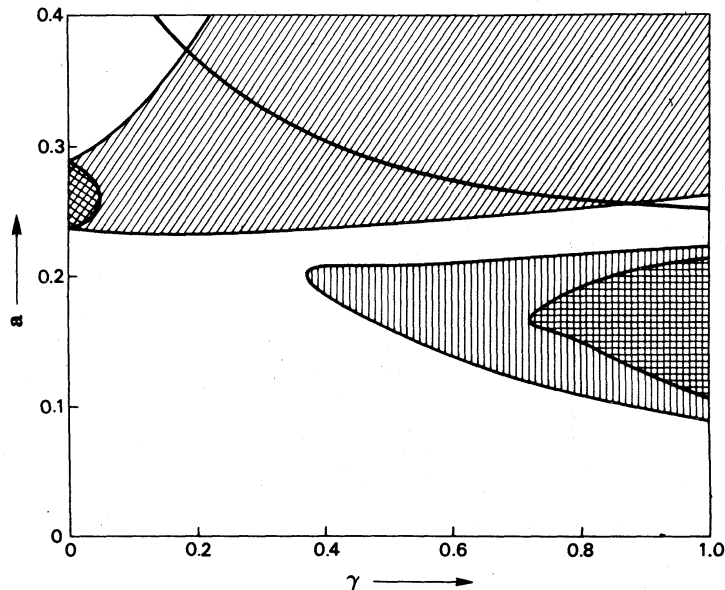
図4.4 $\mu = 0.4$ に対する 2 周期点の存在領域

内で ${}^1S, {}^2S$ 共に I に変化し 2 周期点の存在する領域を示している。

また 内では 1S が I に変化した後、更に分歧した S_1^2, S_2^2 が SI

分歧し S^4 を S^4 が I^4 になり S^8 を分歧するといった SI 分岐が雪崩状に生じる領域を示している。なお図中右上の太い実線は

図4.1に示した $\mu = 0.4$ の直線である。また二つの図は定性的なものであって境界線は計算時間・誤差等により概略である。



分歧後の様子を方程式

$$\ddot{x} - 0.4(1 + 0.4z - z^2)\dot{x} + x = 0 \quad (4.3)$$

$$\dot{z} = -0.46z + 0.4x$$

の例で示すと図4.5、図4.6となる。

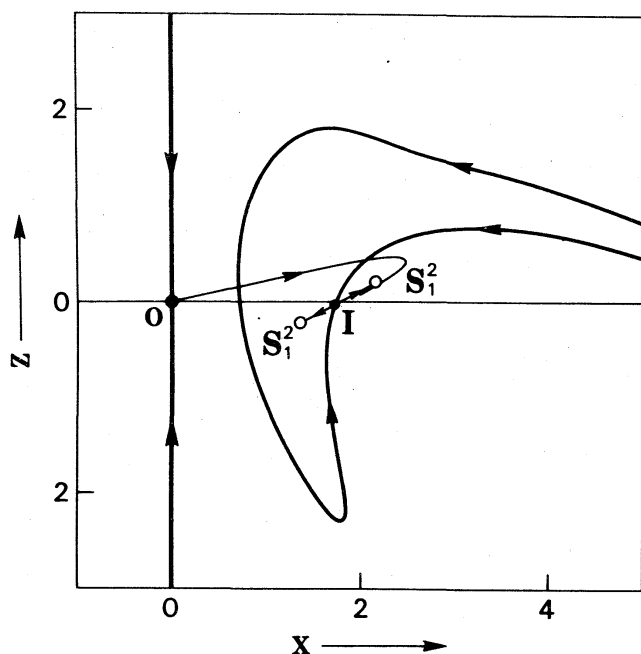
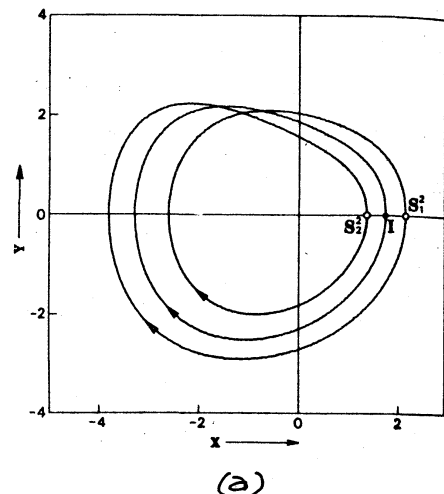
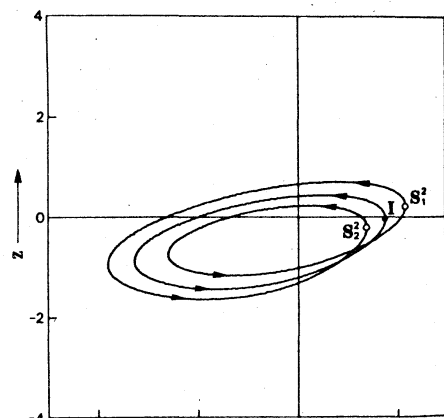


図4.5 (4.3)式のπ上のphase portrait

工度の不確定不変曲線上に初期値
を持つ解の集合は Möbius の帯状
の集合をなし、帶の縁に安定なリッ
トサイクル (S_1^2, S_2^2) に対応した周期解
でその周期は工の約2倍) がある。
周期・東数等については表1参照。



(a)



(b)

図4.6 (4.3)式のlimit cycles.

(iii) SD 分枝: $\gamma=0$ のとき a の変化によって生じる分枝 (図4.1参照)

で、phase portrait は π 上で Z 軸に沿って対称となる。データ省略。

(iv) Hopf 分岐:

110 ラメタ a の小さな

領域で完全安定

不動点 S が完全不安

定不動点 S に変化し

ときに invariant

closed curve が生

じる Hopf 分岐が

みられた。二の例

を 図4.7 に示す。

図4.8 は invariant

closed curve 上の trajectory

の一節を示したものである。

方程式は

$$\ddot{x} - 0.1(1 + 0.2z - z^2)\dot{x} + x = 0$$

$$\dot{z} = -0.01z + 0.4x$$

(4.4)

である。

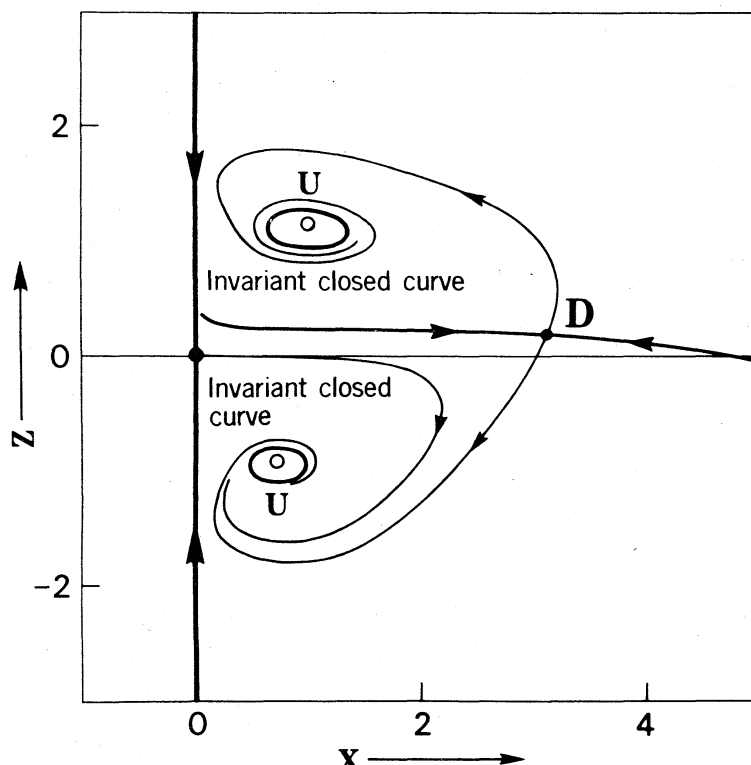


図4.7 (4.4) の π 上の phase portrait.

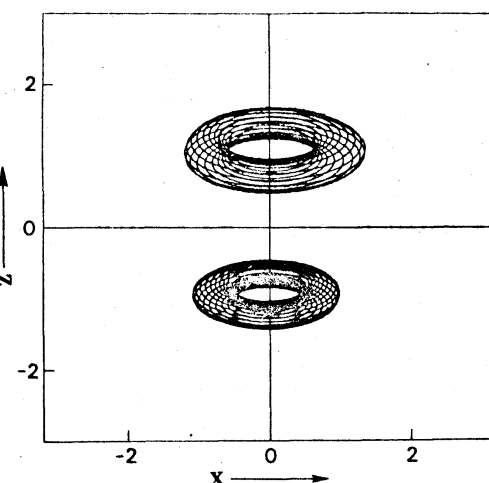


図4.8 (4.4) の torus 上の解の一部。

(4.3) Homoclinic 点について

μ の値が 0.3 以上になると、 α の値の適当な領域で正不安定不動点 D に出入りする 安定・不安定不変曲線が互に交差して homoclinic 点が生じる。この領域を求めるとは極めて長時間の計算が必要とするのでここで省略した。(4.1) までは homoclinic 解の存在することは興味あることと考えられる。この系における homoclinic 解の生成過程は、保存系やこれに近い非保存系の場合とは異なり、 D 点を遠く離れた領域におけるベクトル場の性質が不変曲線をやむなく交差させていたといった状況のもとで起つている様子であった。

方程式

$$\begin{aligned}\ddot{x} - 0.3(1 + 0.8z - z^2)\dot{x} + x &= 0 \\ \dot{z} &= -0.08z + 0.4x\end{aligned}\quad (4.5)$$

にみられる 不変曲線の
交差の様子を図 4.9
に示した。この例で
たとえば D 点近傍の解
について考えると、解は
右方向上方にまい上った後
 z 軸につけられ下方に
落ち $z < 2$ で x 軸から
強くひきはさわるように運動する。

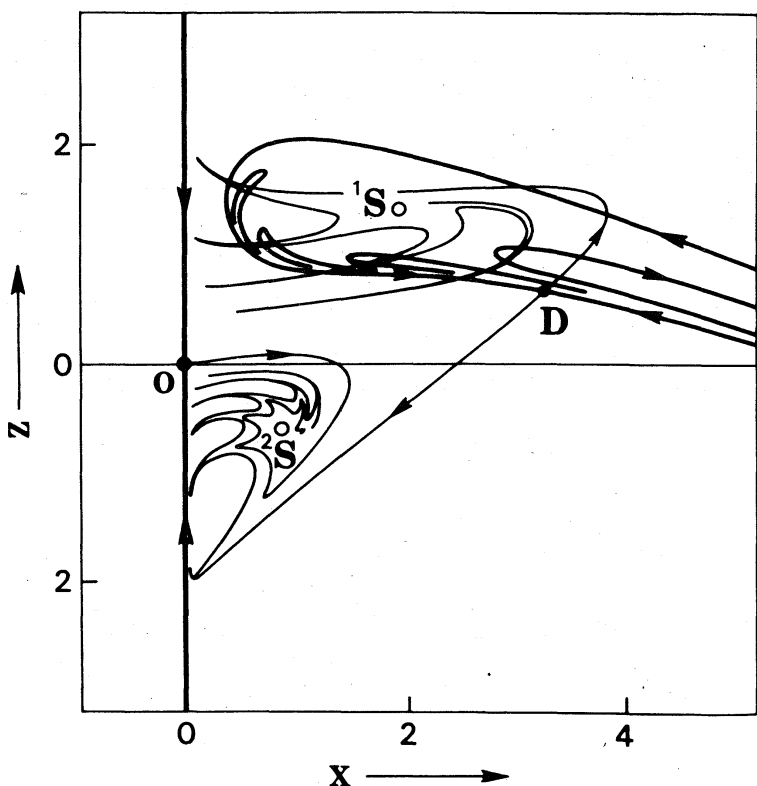
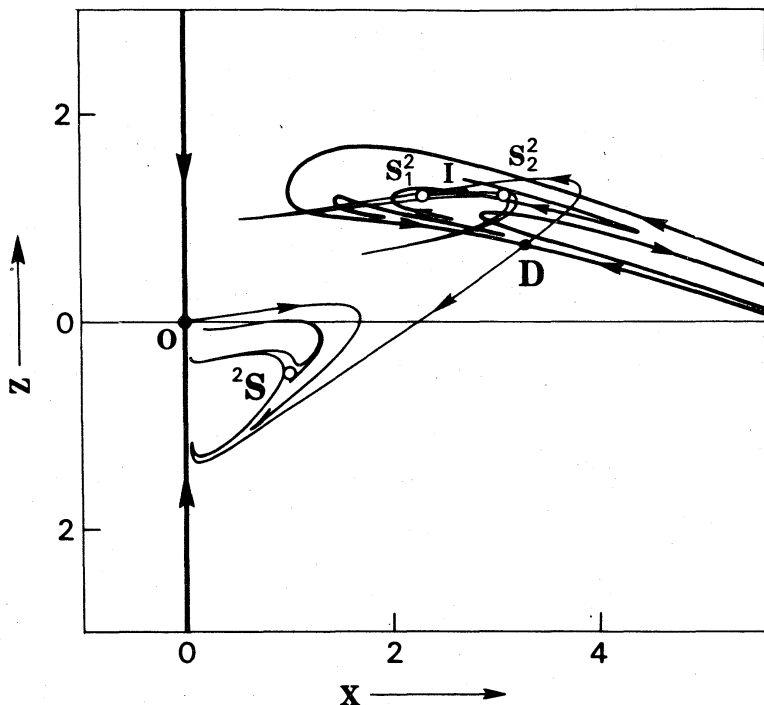
図 4.9 (4.5) の Π 上の phase portrait.

図4.10 は方程式

$$\begin{aligned}\ddot{x} - 0.4(1 + 0.6z - z^2)\dot{x} + x &= 0 \\ \dot{z} &= -0.18z + 0.4x\end{aligned}\quad (4.6)$$

にみられる支差の様子
を観たものである。

この例では不動点
もIに分枝し S_1^2, S_2^2
が生じている。また
さくしてゆくと I 分枝
が次々と生じ、I 点の

図4.10. (4.6) の Π 上の phase portrait.

不安定不陥曲線がD点の安定不陥曲線と交差して heteroclinic 点が生じると、
それはやくの領域には安定な周期解が存在しなくなり、すべての解は長
時間後で漸近する様である。

5. むすび

以上特別な3階自律系の実験結果の一部を報告した。筆者等の一つの目的は具体的な3階自律系に homoclinic 解や概周期解を持つ例を見出すことにあった。その点では上庄の例は一応興味のある方程式であることがわかった。

発振器を制御する見地から思いつくまゝにいくつかの問題を述べて結びたい。図2.1のblock diagramにおいて

(i) Filter 部は安定な時不変線形系と仮定し、その入・出力はスカラとす。

$$\begin{aligned}\dot{x} &= Ax + b e(t) \cdot u && \text{Filterの方程式'} \\ y &= cx && \text{出力の方程式'}\end{aligned}\quad (5.1)$$

ここで $x \in R^n$, $A: n \times n$ 安定行列, $b: n$ 次元ベクトル, $c: n$ 次元ベクトル,

$e(t)$: 制御入力(スカラ), y : 出力変数(スカラ), u は oscillator の出力(スカラ)。

なお実用的には Filter 方程式' は $0 \leq n \leq 3$ のいきかで"ある。

(ii) Oscillator は Liénard 型方程式' で"記述されるものとし, $y_1 = y$, z 制御されるものとする:

$$\ddot{u} + f(u, y) \dot{u} + g(u, y) u = 0 \quad (5.2)$$

ここで $f: R^2 \rightarrow R$, $g: R^2 \rightarrow R$ は次の性質を持つものとする。

(A) ある正数 $r > 0$ かつ $u^2 + y^2 > r^2 \Rightarrow f(u, y) > 0$. かつ $u^2 + y^2 \rightarrow \infty$ かつ $f(u, y) \rightarrow \infty$,

(B) 存在 u, y に対して $g(u, y) > M > 0$. M はある一定数。

(i)(ii) より 系全体の方程式' として

$$\begin{aligned}\dot{x} &= Ax + b u e(t) \\ \ddot{u} + f(u, cx) \dot{u} + g(u, cx) u &= 0\end{aligned}\quad (5.3)$$

を得る。以上の場合のもとに

問題 1. $e(t)$ を周期関数と仮定して (5.3) は dissipative か。

問題 2. $e = 1$ とし, 特異点(原点)が不安定な場合 どのような極限集合が考えられるか。

問題 3. (AGC 問題) $g(u, cx) = \omega^2 : -\infty$, $f = \varepsilon h(u, y)$ $h \neq f$

と同じ性質を持つものとし $\varepsilon > 0$ は小さなパラメタとする。

- (i) $e = E$ (一定) にて 安定な limit cycle の振幅と E の関係を検討すること。
- (ii) $e = E \sin(\nu t + \theta)$ にて oscillator の周期解・根の周期解を検討すること (外部からの同期信号に対する oscillator の同期・非同期の検討)。

問題 4 (AFC 問題) たとえば $f = -\varepsilon(1-u^2)$, $g = \omega^2 + \mu y$, $\varepsilon, \mu > 0$ は小さいパラメタ, $e(t) = E \sin(\nu t + \theta)$ と仮定して oscillator の発振周波数を制御する問題において。
(5.3) 式の 周期解・根の周期解を検討すること。工学的には ν を変化させた場合出来るだけ広範囲に oscillator の周波数の 安定な周期解を持つことが望まれる。このとき 線形 Filter 部の A 行列をいかに定めればよいか。

などが興味ある問題と考えられる。この報告の例では Filter 部の方程式を $\dot{x} = -ax + bu$, oscillatorの方程式を $\ddot{u} - \mu f(z) \dot{u} + u = 0$ とした場合で $e(t) = b$ (一定) の最も簡単な例である。 $e(t) = E \sin(\nu t + \theta)$ を仮定すれば

$$\begin{aligned}\dot{x} &= -ax + Eu \sin(\nu t + \theta) \\ \ddot{u} - \mu f(z) \dot{u} + u &= 0\end{aligned}$$

となり Filter 部の方程式が係数時変型となる。この場合の同期化問題も興味あるものと考えられる。

文献

- [1] P.R.Scott, Symmetrical Oscillator Equation Having Unsymmetrical Solutions, Proc. IEEE letters, vol 64, pp 818-819, 1976.
- M.J.E. Golay, Normalized Equations of the Regenerative Oscillator-Noise, Phase-Locking, and Pulling, Proc. IEEE, vol 52, pp 1311-1330, 1964.
- [2] 上田曉亮「非線形振動からの問題提起2件」そのI.
電気回路の力学系 講究録 284, 1976.

Table 1. Locations of fixed points of the Poincaré map T.

Equations	Coordinates of fixed points ($y = 0$)			Period	Multipliers
	x	y	z		
$\dot{x} - 0.1(1 + 0.8z - z^2)\dot{z} + x = 0$	1_S	2.0869	1.2807	6.2984	$0.7868 \pm 0.4833i, 1.0000$
$\dot{z} = -0.04z + 0.4x$	D	3.1534	0.6078	6.2957	$0.5031, 1.9616, 1.0000$
$\dot{x} - 0.4(1 + 0.4z - z^2)\dot{z} + x = 0$	2_S	1.1432	-0.5696	6.2908	$0.8151 \pm 0.3777i, 1.0000$
$\dot{z} = -0.46z + 0.4x$	I	1.7626	-0.0061	6.7284	$-1.1901, -0.0508, 1.0000$
	S_1^2	2.1626	0.2368	13.5132	$0.0110, 0.3219, 1.0000$
	S_2^2	1.3919	-0.1934	13.5132	$0.0110, 0.3219, 1.0000$

Table 1. Locations of fixed points of the Poincaré map T (cont.).

Equations	Coordinates of fixed points ($y = 0$)		Period	Multipliers
	x	z		
$\dot{x} = -0.3(1 + 0.8z - z^2)\dot{z} + x = 0$	1_S	1.9087	1.3855	6.3817 $-0.1134 \pm 0.8398i$, 1.0000
	D	3.2149	0.6313	6.3646 0.1565, 7.9524, 1.0000
	2_S	0.8447	-0.5830	6.3303 0.3164 $\pm 0.7411i$, 1.0000
$\dot{x} = 0.4(1 + 0.6z - z^2)\dot{z} + x = 0$	1_S	1.0252	-0.5107	6.4398 $-0.4756 \pm 0.3842i$, 1.0000
	D	3.2647	0.7122	6.4970 0.0999, 7.5112, 1.0000
	I	2.6762	1.2316	6.5502 -1.3815, -0.3250, 1.0000
$\dot{z} = -0.18z + 0.4x$	S_1^2	3.0834	1.2083	13.1121 $-0.1183 \pm 0.4436i$, 1.0000
	S_2^2	2.2478	1.2016	13.1121 $-0.1183 \pm 0.4436i$, 1.0000